

## *In vivo* $^{19}\text{F}$ MRI による薬物体内動態の評価（第 1 報） —特に吸入麻酔剤 enflurane について—

橋本 隆裕<sup>1</sup>, 池平 博夫<sup>1</sup>, 福田 寛<sup>1</sup>, 上嶋 康裕<sup>2</sup>,  
安藤 興一<sup>1</sup>, 館野 之男<sup>1</sup>,

<sup>1</sup> 放射線医学総合研究所臨床研究部

<sup>2</sup> シーメンス旭メディック開発製造本部

### はじめに

従来より薬物の吸収および排泄の過程などの生体内薬物動態を評価するには、放射性同位元素を用いた体外計測や組織を取り出しての破壊的測定を行なう必要があった。これに対し MR (magnetic resonance) 法を用いれば、薬物の生体内での挙動を非破壊的、非侵襲的にしかも経時的に捉えることが可能である。とりわけ、もともと生体内に存在する  $^{19}\text{F}$  のほとんどが MR で検出されないため、 $^{19}\text{F}$  を含む化合物を生体内に投与して MR 測定を行なえば生体内動態を捉えることが可能となり大変魅力的である。すでに、一部では臨床応用も試みられている<sup>1)</sup>。しかし、一方 *in vivo*  $^{19}\text{F}$  MR 測定では、薬物の生体内に投与し得る量や生体内での代謝や分解といった低信号雑音比および画像化する場合のアティファクトなどの問題が常に付きまとう<sup>2)</sup>。

今回我々は、吸入麻酔剤として最も広く利用されている enflurane<sup>3)</sup> を用い、より生理的状態に近い臨床麻酔で使用する濃度下 (1.75–2.0%) で、かつ短時間での *in vivo*  $^{19}\text{F}$  MR imaging

(MRI) を試みた。本研究の目的は enflurane の生体内分布およびその特徴を実験的に明らかにし、また麻酔の導入ならびに覚醒時の生体組織中の挙動を単一動物にて経時的 MRI にて視覚的に捉える事である。なお、F 化合物の画像化の応用として、担癌マウスに放射線増感剤である KU 2285 を腹腔内投与して、 $^{19}\text{F}$  MRI による体内動態の視覚化も試みたのでこの点についても若干述べる。

### 方法および対象

1) enflurane の実験では 300 g の雄性 wister ラット 12 匹を、KU-2285 の実験では左大腿皮下に NFS<sub>a</sub> (murine fibrosarcoma) 移植後、腫瘍径が 2 cm 以上となった 35 g の C<sub>3</sub>H 担癌マウス 4 匹を用いた。

2) 使用した MR 装置は 2 T の超伝導水平型マグネットよりなる RS 200 (Siemens-Asahi Medical Systems Ltd., Tokyo, Japan) である。コイルは  $^{19}\text{F}$  に調整した内径 8 cm の Alderman Grant 型コイルを用いた。 $^{19}\text{F}$ ,  $^1\text{H}$  の共鳴周波数はそれぞれ 80.22 ならびに 85.26

MHz である。中心周波数および 90°パルスは enflurane 5 cc 入りのバイアルにて決定した。enflurane の MR スペクトルは 2 本の共鳴線として捉えられ、画像化にあたってはピーク高の高い低磁場側のピークを中心周波数を合わせた。サンプリングレートは 8 KHz とし、2 KHz の Butterworth filter によりオフセンターエリアを除いた。<sup>19</sup>F MRI のパルス系列は field echo 法で、繰り返し時間は 300 ms、エコー時間は 10 ms とした。スライス選択は行なわず、いわゆる projection 画像を撮影した。投影方向は腹臥位のラットの上下（腹側→背側）および左右方向（側方）とした。視野径は 140 mm、磁場勾配は 1.1 Gauss/cm、マトリックスサイズは 128 × 128 である。積算回数は 5～10 回、すなわち撮影時間は 3.2～6.4 分である。一部のラット（n=6）では enflurane の解剖学的分布を明らかにするために<sup>19</sup>F MRI の撮影終了後、<sup>19</sup>F のコイルの中の動物はそのままに、周波数を<sup>1</sup>H に合わせて、<sup>1</sup>H MRI の撮影を行ない<sup>19</sup>F MRI と比較した。<sup>1</sup>H MRI の条件は、スライス幅 2 mm の field echo 法（繰り返し時間/エコー時間=300/10 ms）で、視野径は 140 mm、マトリックサイズは 256 × 256 である。積算回数は 2 ないし 4 回、撮影時間は 2.6～5.1 分である。

### 3) 実験のプロトコール enflurane の実験

他の麻酔剤の影響を避けるために、ラットを無麻酔のままゲージごと 5% enflurane 濃度の 100% 酸素を満たした袋の中にいた。数分後ラットが不動化したところでマグネット内に腹臥位として固定し、自発呼吸下にマスク麻酔にて維持を行なった。この間、ガス流量は 1 l/min とし、酸素 30%，笑気 70% および enflurane は専用の気化器を用いて 1.75～2.0% に維持した。動物をマグネット内に固定した直後より<sup>19</sup>F MRI 測定を開始し、以後 60 分間にわたり上記の条件にて測定を続けた。その後、酸素、笑気はその

ままで enflurane の吸入を中止して動物が覚醒し自発運動を始めるまでひき続いて<sup>19</sup>F MRI 測定を行なった（n=6）。enflurane の解剖学的位置を明らかにするために半数の動物（n=6）では enflurane 吸入中止後 20 分まで<sup>19</sup>F MRI の撮影を打ち切り、enflurane 濃度 1.75% の吸入を再開して麻酔を得て、<sup>19</sup>F MRI の projection 方向に一致した<sup>1</sup>H MRI を前記の条件で撮影し、<sup>19</sup>F MR 信号の解剖学的位置を比較検討した。

### KU-2285 の実験

マウスに抱水クロラール 10 mg を腹腔内投与して麻酔を得た後、<sup>19</sup>F 用のコイルの中に腹臥位で固定した。次いで、生理食塩水で溶解した KU 2285 (50 mg, 1 ml) を NFSa 担癌 C 3 H マウスに腹腔内投与して、直後より経時に<sup>19</sup>F MRI を撮影した。撮影条件は前述の enflurane の実験と同一であり、projection 方向はマウスの上下方向（腹側→背側）のみとした。

## 結果

ラットは麻酔導入後 1.75～2.0% enflurane の一定濃度で自発呼吸下にて維持したが、導入開始後 15～20 分ほどで、生体より<sup>19</sup>F MR の信号が見られ始めた。麻酔開始後 60 分を経過した時点の *in vivo* <sup>19</sup>F MRI を図 1, 2, 3 に示す。enflurane の血中濃度はこの時点では平衡状態になっていると考えられる。

頭部の画像を図 1 に示す。上段は矢状方向の画像で、下段は冠状方向の画像である。図 1-B, D は enflurane の<sup>19</sup>F MRI であり、図 1-A, C は図 1-B, D に対応した<sup>1</sup>H MRI である。<sup>19</sup>F の著明な信号は頸部から背部にかけて頭部側方に見られた。<sup>1</sup>H MRI との対応により、これらの高信号域はそれぞれ頸部の皮下脂肪組織ならびに唾液腺などの脂肪組織（矢印）と考えた。図 1-D の前方に見られる小さな 2ヶ所の

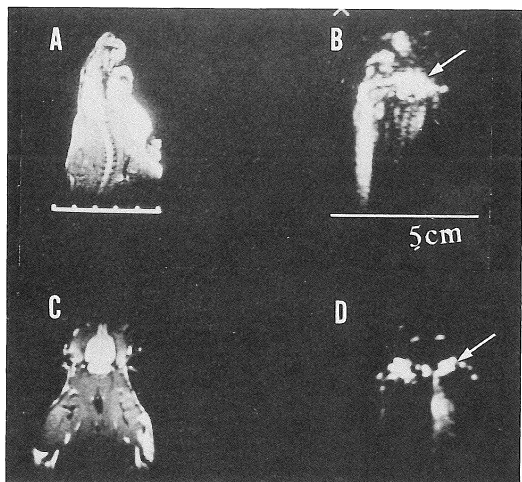


図2. 1.75%のenflurane吸入麻酔60分経過時の腹部 $^{19}\text{F}$ MRI(冠状方向の像、図2-B)およびそれに対応する腹部中央での $^1\text{H}$ MRI(field echo法で、繰り返し時間300 msエコー時間10 ms、スライス幅2 mm、図2-A)。図2-Aの $^1\text{H}$ MRIにて胸部(肺)および腹部の領域が捉えられていることが分かる。脂肪の $T_1$ 値は短いために、高信号として捉えられる。この画像との対比で、図2-Bでの $^{19}\text{F}$ MR信号は肝臓(小矢頭)および腹腔内脂肪組織(大矢頭)より得られていると同定できる。図中の横線はおのおの5 cmに対応している。

図1. 麻酔導入後、1.75%のenflurane麻酔60分経過時のラット頭部の $^1\text{H}$ (図1-A,C)および $^{19}\text{F}$ MRI(図1-B,D)示す、いずれもfield echo法で、繰り返し時間300 ms、エコー時間10 msである。前者および後者のマトリックスサイズはそれぞれ256×256, 128×128である。図1-A,Bは側方から見、図1-C,Dは腹側から背側を見た像である。いずれも図の上方がrostralとなる。 $^{19}\text{F}$ MR信号は頸部背側および頭部側方に著明で、 $^1\text{H}$ MRIとの対比より前者は脂肪組織で、後者は唾液線の脂肪組織が主体(矢印)と考えた。図中の横線はおのおの5 cmに対応している。

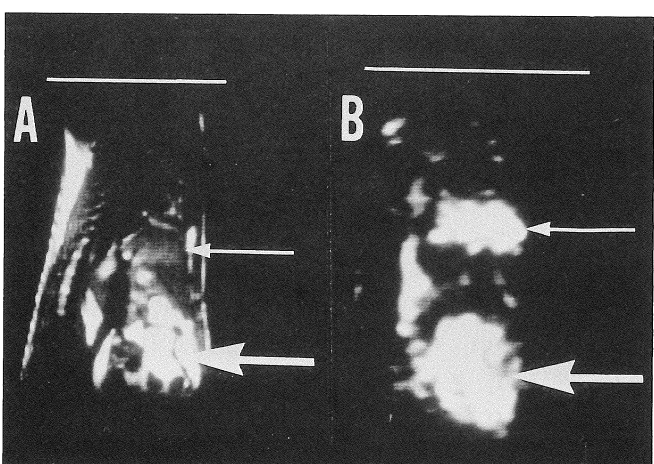
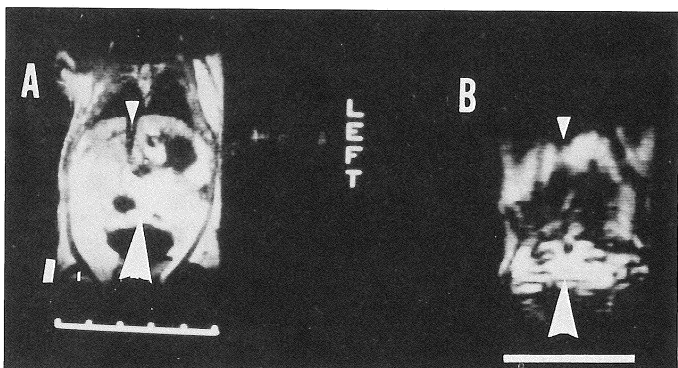


図3. 1.75%enflurane吸入麻酔60分経過時の $^{19}\text{F}$ MRI(腹部矢状方向すなわち側方から見た像、図3-B)およびこれに対応する腹部中央での $^1\text{H}$ MRI(図3-A)。図3-Bでは肝臓(小矢印)および腹腔内脂肪組織(大矢印)より $^{19}\text{F}$ MRの高信号が得られている。肝臓の形態はこの撮影方向にて明瞭に描出されている。図中の横線はおのおの5 cmに対応している。

信号は眼窩脂肪組織と考えた。脳実質よりの<sup>19</sup>FのMR信号は左右方向の像では重なりのために同定困難で(図1-B),上下方向の像(図1-D)では明らかでなかった。

腹部より得られた画像を図2,3に示す。腹部を下から見た画像(冠状方向)が図2であり、矢状方向から見たものが図3である。<sup>19</sup>F MRIでの高信号域(図2-B,3-B)は、対応する<sup>1</sup>H MRIにて肝臓ならびに腹腔内脂肪組織であると同定できる。とりわけ、脂肪はT<sub>1</sub>値が短く<sup>1</sup>H MRIでは高信号として描出されている(図2-A,3-A)。図2の小矢頭で示したものは肝臓で、大矢頭で示したのは大網などの腹腔内の脂肪組織であり、<sup>19</sup>F MR信号強度は明らかに脂肪組織の方が肝臓よりも強かった。肝臓の形態の描出は矢状方向の像(図3小矢印)でより明らかであった。また麻酔導入後60分までの肝臓および脂肪組織よりの<sup>19</sup>F MR信号は脂肪組織では経時に増大したのに対して、肝臓では約30分でプラトーに達した。

1.75%enfluraneによる吸入麻酔を60分間維持し、その後吸入を中止して覚醒するまでの経時的な腹部の<sup>19</sup>F MRI(冠状方向)を図4に示す。左上が吸入中止直前の像で、腹腔脂肪組織(矢印)および肝臓(矢頭)より強い信号が得られている。右上の像が吸入中止後20分の像で、左下が40分後、右下図70分後の像である。40分経過すると全体の信号が低下しているが、依然肝臓からの信号も認められる。しかし、70分経過すると肝臓からの信号はほとんど認められなくなった。一方、この時点で脂肪組織からの信号は低下してはいるものの依然強く認められた。この後、ラットは麻酔より覚醒し自発運動を始めたため、<sup>19</sup>F MRI撮影を中止した。

マウスの腹腔内に投与したKU 2285は図5に示すように捉えられた。図5-Aが投与直後のもので、図5-Bが12分後、図5-Cが32分後で、図5-Dが52分後の像である。時間経過とともに腹腔内からの信号は次第に弱くなり、一方で図中の矢印に示した膀胱内に集積したKU-2285

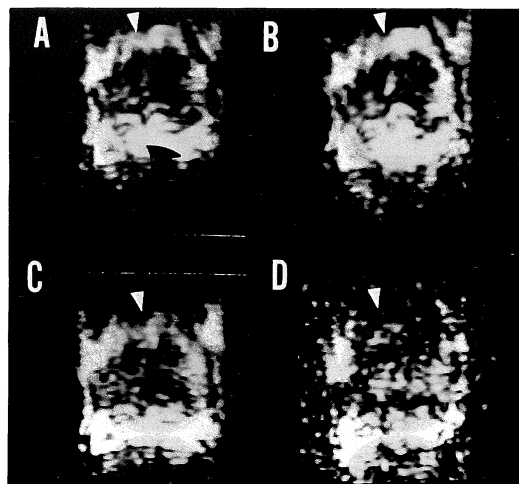


図4. 1.75%のenfluraneにて60分間麻酔後、enflurane投与を中止し、覚醒するまでの<sup>19</sup>F MRI腹部冠状方向すなわち腹側から背側をみた像の経時的变化(投影方向は図2と同様である)。それぞれ、吸入中止直前(図4-A), 中止後20分後(図4-B), 40分後(図4-C), 70分後(図4-D)の像である。吸入中止後<sup>19</sup>F MRの信号は次第に弱くなり、70分後(図4-D)には肝臓(小矢頭)より信号はほとんど消失しているが、脂肪組織(矢印)からは依然信号が認められる。肝臓からの信号の低下は吸入中止後のenflurane血中濃度の低下に対応していると考えられる。また脂肪組織は血流が少なく、かつ大量のenfluraneが蓄積しているために、血中への移行が不良で信号が持続すると思われる。

より強い信号が捉えられた。麻酔により腸蠕動が抑制させているためか、投与後の腹腔での薬剤の移動は著明ではなかった。また、左大腿部腫瘍(図5-A, tm)からの信号は確認できなかつた。

## 考 察

生体中に存在するF-19は主に骨組織に組み込まれておらず、そのほとんどがMRにて捉えられない。一方、<sup>19</sup>FのMR感度は<sup>1</sup>Hに次いで高い。そのため<sup>19</sup>F含む物質を生体に投与してMRI測定が可能となれば、その局在および濃度分布といった体内動態が比較的容易に画像とし

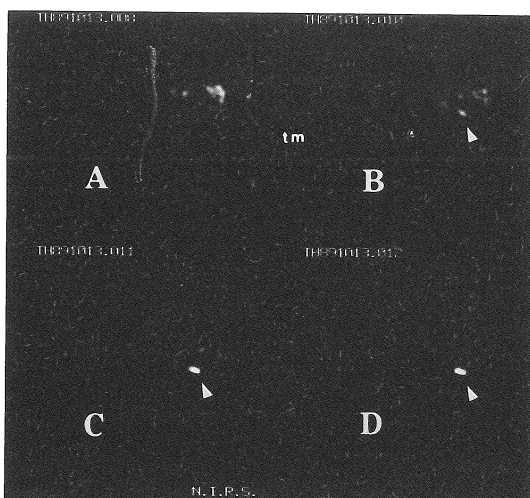


図 5. 放射線増感剤 KU 2285 (50 mg, 1 ml) を左大腿に径 2 cm の NFSa 腫瘍を有する C3H マウスに腹腔内投与後、経時に  $^{19}\text{F}$  MRI を撮影した。投影方向は腹側→背側方向である。パルス系列は field echo 法（繰り返し時間/エコー時間 = 300/10 ms）。それぞれ、投与 2 分後（図 5-A），12 分後（図 5-B），32 分後（図 5-C），52 分後（図 5-D）の像である、12 分後にすでに吸収排泄された KU 2285 の膀胱よりの  $^{19}\text{F}$  MR 信号（矢頭）明らかである。しかし、腫瘍（tm）からの信号は認めない。図 5-A はマウスの腹部、下肢の輪郭を描いている。

て捉えられると考えられる。ただし実際の MRI 測定に当たっては薬剤の生体組織中の濃度、分解、代謝および緩和時間が重要な因子となる。とりわけ生体投与した F 化合物では組織内濃度が大きな要素となり、現実には  $^1\text{H}$  MRI に比べ  $in vivo$   $^{19}\text{F}$  MRI は信号雜音比が低く、空間分解能も劣る。

また、生体での薬物の体内動態を測定するにはこれらの問題に加えて時間分解能の問題が生じる。従来報告されている  $in vivo$   $^{19}\text{F}$  MRI の撮像時間は数時間を要する例もあり<sup>2)</sup>、分単位の経時変化を検討するには不都合である。今回の実験では projection 画像のため、時間分解能 3～6 分で、薬物の生体内挙動を捉えるには満足できるものと考える。

今まで画像化された F 化合物は血液代用剤

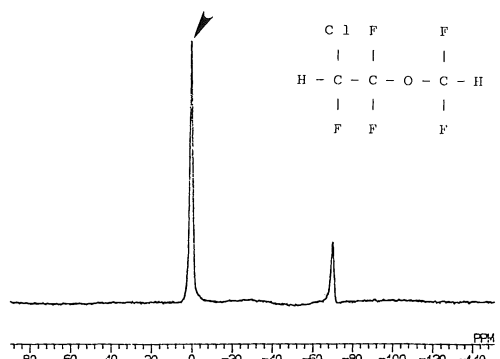


図 6. Enflurane の構造式および 1.75% の enflurane 吸入麻酔下のラット腹部より得られた  $in vivo$   $^{19}\text{F}$  MR スペクトルを示す。今回の MRI 測定にはピークの高い低磁場側の共鳴線（矢印）を中心周波数を合わせた。

として知られる perfluorocarbon を用いたものがほとんどである<sup>4),5)</sup>。しかし、実際に画像化するには極めて多量の投与が必要となり非生理的で、またこの物質は肝臓および脾臓などの網内系に蓄積し体内に長く留まるという不都合もある。そこで我々は生体内でほとんど不活性でかつ吸収および排泄が早い吸入麻酔剤を用い、その生体内での分布およびその経時的变化を画像として捉え、特徴づけることを試みた。

吸入麻酔剤のほとんどは F を含み  $^{19}\text{F}$  MR の良い対象となる<sup>6),7)</sup>。今まで  $in vivo$  MR で検討されている麻酔剤は主として halothane である<sup>6),8)</sup>。その理由は共鳴線が单一であるためだが、高濃度で使用する必要がある、撮像までに長時間の麻酔の維持が必要で、撮像自体にも長時間を要し、実際には生体内でかなり代謝されるなどの欠点がある<sup>9)</sup>。一方、enflurane（図 6）は 5 原子の F を含み、本邦では臨床麻酔において最も使用されている吸入麻酔剤である。しかも、この薬剤は生体中ではほとんど代謝を受けず不活性であるとされている<sup>3)</sup>。また enflurane の  $in vivo$  での画像化は報告されておらずその生体内分布を捉えることは価値があると思う。図 6 に示すようにラット麻酔中に得た enflurane の  $in$

*vivo* MR スペクトルは2本の共鳴線が得られ、今回の画像化にはピーク高の高い低磁場側のピーク(図6矢印)を中心周波数に合わせた。

吸入麻酔剤の組織内濃度は数mM以下と低いが、脂溶性が高い事はよく知られている。今回の実験でも頭頸部および腹部の脂肪組織から高信号が得られた。ただ、腹部での吸入麻酔剤の分布の画像化の報告は未だ見られない。

今回の検討で肝臓からのMR信号について図2, 3, 4, に示したように興味ある知見が得られた。麻酔導入時より肝臓の信号強度は脂肪組織のそれに比べ低く、かつ早期に平衡に達した。また覚醒時には肝臓の信号は脂肪組織のそれに比べより早期に消失した(図4)。enfluraneの血中濃度は開始後15分まで速やかに上昇し、60分以降平衡となる<sup>9)</sup>。肝臓よりの信号が脂肪組織と同様に組織内蓄積に由来すると考えれば、肝臓よりの信号強度が早期に平衡に達した理由の説明が困難である。この事実はenfluraneが脂肪組織のように肝臓組織中に溶解、蓄積して存在するのが主体というよりも、肝臓が豊富な血液を擁するためenfluraneの血中濃度に応じた信号を反映し、そのためenflurane血中濃度の飽和に伴い、早期に信号強度が平衡に達したと考えたい。実際enfluraneの吸入濃度を一定にしておいてラット腹部の<sup>19</sup>F MRI撮影中に門脈血流を急激に低下させると高信号を呈していた肝臓からのenfluraneの<sup>19</sup>F MRI信号は速やかに低下してしまうことも肝臓からの信号が主に肝臓組織中に溶解したenfluraneよりも血中のenfluraneに由来しているという考え方を支持している(T. Hashimoto, unpublished data)。このように肝臓よりの信号が血流量を反映すると考えれば、enfluraneが生体で極めて不活性であることと相まって、一定の吸入濃度の下で平衡状態に達した後にwash out時の経時的<sup>19</sup>F MRIにより、血流情報を得ることが可能となると推察される。しかし、今回の実験では臓器からの信号強度の変化のみからの考察ではあり、組織での存在状態の変化、緩和機構の変化につ

いては不明であり、今後の検討を要する。

麻酔剤を用いた<sup>19</sup>F MRで興味が持たれるのは、その脳内での分布である。A. M. Wyrwics, et al.<sup>6)</sup>は<sup>19</sup>F MRスペクトロスコピーを用いた麻酔剤が吸入中止後も脳内に長く留まることを報告している。今回の実験では画像上脳内から明らかな<sup>19</sup>F MR信号を認めなかつた。W. Chew et al.<sup>10)</sup>もhalothaneを用いて兎の脳の<sup>19</sup>F MRIを試みたが、脳由来の明らかな信号は検出できなかつたと報告している。この理由は、①脳組織中の濃度が周囲組織のそれに比べはるかに少ない。②T<sub>2</sub>緩和時間が非常に短縮している。③今回は機械の制約のためにエコー時間を10msとしたが、より短い設定が必要である。④より高濃度で長時間の麻酔に加え、より長い撮影を行なう必要があるなどが考えられる。

臨床的に吸入麻酔剤の体内動態を知るには血中、尿中の代謝産物の定量や呼気ガス中の定量により間接的に捉えるしかない。ましてや*in vivo*でその生体内分布を知る手段は無い。今回示したように、臨床で使用する濃度での*in vivo* <sup>19</sup>F MRIが可能であることより人体で直接enfluraneの分布を画像化できる可能性も極めて高い。

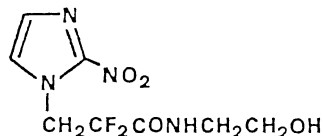


図7. KU-2285の構造式

今回はこれまで述べてきた吸入麻酔剤に加え、<sup>19</sup>F MRIを用いて放射線増感剤のKU-2285(図7)の体内動態の評価を試みた。この化合物の<sup>19</sup>F MRI測定は現在まで報告は見られないが、図5のように担癌マウスの腹腔内投与後の拡散、吸収及び膀胱内排泄の過程を経時に捉えることができた。R. J. Maxwell, et

al.<sup>11)</sup> は F 化された misonidazole 類似化合物を静注投与してスペクトル測定を行ない、投与後 24 時間でも腫瘍では投与直後の約 20% の信号が得られたの対し、他の組織でのそれは 0.1% と極めて低いことより、F 化放射線増感剤を用いた *in vivo*  $^{19}\text{F}$  MR 法が低酸素細胞の非侵襲的な検出手段となり得る可能性を示した。我々の実験では、腹腔、膀胱から放射線増感剤の信号は捉えられたが、腫瘍から信号の検出は出来なかつた。測定条件設定の最適化の検討も今後必要であるが、薬物の体内動態に関して腫瘍内濃度が特異的に上昇していない、時間分解能より投与後早期に腫瘍組織内濃度が低下する、また腫瘍側の因子として腫瘍径の増大に伴い壞死部分が増え低酸素細胞を多く含む腫瘍実質容積が十分でなかつたなどの可能性も考えられる。ただ、生体に投与した薬物を *in vivo* スペクトロスコピーで検討する際にはその信号の位置情報が得られない場合が多く、この点からも画像化を試みる意義は極めて大きいと考える。

### ま　と　め

*In vivo*  $^{19}\text{F}$  MRI を用いて F 化合物である吸入麻酔剤の enflurane および放射線増感剤の KU 2285 F の画像化による体内動態の評価を試みた。臨床で使用される吸入濃度の下で enflurane の体内分布ならびにその経時的变化をラットにおいて明瞭に描出できた。また腹腔内蔵器とりわけ肝臓の  $^{19}\text{F}$  MRI では興味ある所見が得られた。特に肝血流と MR 信号の関係については今後の検討を要する。

### 謝　　辞

本研究の一部は科学技術振興調整費の助成を受けた。KU 2285 の供与を受けたダイキン工業㈱に感謝致します。共同研究にあたり多大な御尽力を賜りましたシーメンス旭㈱開発製造本部の各位に感謝致します。

本論文の要旨は第 15 回日本磁気共鳴医学会大会（岐阜市、平成 2 年 2 月 16 日）において発表した。

### 文　　献

- 1) M. C. Malet-Martino, J. P. Armand, A. Lopez, et al. : Evidence for the importance of 5'-Deoxy-5-fluorouridine catabolism in humans from  $^{19}\text{F}$  nuclear magnetic resonance spectroscopy. *Cancer Res*, 46 : 2105-2112, 1986
- 2) E. McFarland, J. A. Koucheer, B. R. Rosen, et al. : *In vivo*  $^{19}\text{F}$  NMR imaging. *J Comput Assist Tomogr*, 9 : 8-15, 1985
- 3) G. W. Black : Enflurane. *Br J Anesth*, 51 : 627-640, 1979
- 4) P. M. Joseph, J. E. Fishman, B. Mukher-ji, et al. : *In vivo*  $^{19}\text{F}$  NMR imaging of the cardiovascular system. *J Comput Assist Tomogr*, 9 : 1012-1019, 1985
- 5) R. P. Mason, P. A. Antich, E. E. Babcock, et al. : Perfluorocarbon imaging *in vivo* : A  $^{19}\text{F}$  MRI study in tumorbearing mice. *Magn Reson Imag*, 7 : 475-485, 1988
- 6) A. M. Wyrywcz, C. B. Conboy, B. G. Nichols, et al. : *In vivo*  $^{19}\text{F}$  NMR study of halothane distribution in brain. *Bioch Biophy Acta*, 929, 271-277, 1987
- 7) A. M. Wyrywicz, C. B. Conboy, K. R. Ryback, et al. : *In vivo*  $^{19}\text{F}$ -NMR study of isoflurane elimination from brain. *Bioch Biophy Acta*, 927 : 86-91, 1987
- 8) L. Litt, R. Gonzalez-Mendez, T. L. James, et al. : An *in vivo* study of halothane uptake and elimination in the rat brain with fluorine nuclear magnetic resonance spectroscopy. *Anesthesiology*, 67 : 161-168, 1987
- 9) 木村邦之, 神敏郎, 佐藤根俊彦, 他 : Ethrane 麻酔とその動脈血中濃度。麻酔, 22 : 344-347, 1973
- 10) W. M. Chew, M. E. Moseley, P. A. Mills, et al. : Spin-echo fluorine magnetic resonance imaging at 2T : *In vivo* spatial distribution of halothane in the rabbit head. *Magn Reson Imag*, 5 : 51-56, 1987
- 11) R. J. Maxwell, P. Workman, J. R. Griffiths : Demonstration of tumor-selective retention of fluorinated nitroimidazole probes by  $^{19}\text{F}$  magnetic resonance spectroscopy *in vivo*. *Int J Radiat Oncol Biol Phys*, 16 : 925-929, 1989

## **Evaluation of Drug Dynamics with *in Vivo* $^{19}\text{F}$ MRI with Special Reference to Enflurane (1st Report)**

Takahiro HASHIMOTO<sup>1</sup>, Hiroo IKEHIRA<sup>1</sup>, Hiroshi FUKUDA<sup>1</sup>,  
Yasuhiro UESHIMA<sup>2</sup>, Koichi ANDO<sup>1</sup>, Yukio TATENO<sup>1</sup>

<sup>1</sup>*Division of Clinical Research, National Institute of Radiological Sciences  
9-1, Anagawa-4-chome, Chiba-shi 260*  
<sup>2</sup>*Siemens-Asahi Medical Systems Ltd.*

*In vivo*  $^{19}\text{F}$  magnetic resonance imaging (MRI) was examined to reveal the distribution and the dynamics of drugs containing  $^{19}\text{F}$ . Enflurane, most commonly available inhalation anesthetics in Japan, distributed predominantly in the adipose tissue and the liver of the rats and was successfully imaged in less than seven minutes *in vivo* under the clinical concentration of 1.75-2.0%. The  $^{19}\text{F}$  MR signal reached the plateau within 30 minutes in the liver and disappeared faster in the liver than in the adipose tissue. The MR signal from the liver was supposed to originate mainly from the enflurane in the blood. Because of low blood flow and increasing accumulation of enflurane in the adipose tissue, MR signal in the adipose tissue remained longer. *In vivo* consecutive  $^{19}\text{F}$  MRI in the liver using enflurane might offer information of blood flow in the phase of washing out.

Radiosensitizer KU 2285 containing  $^{19}\text{F}$  was also imaged in the C3H mouse after intraperitoneal injection. This drug was rapidly excreted in the bladder. Any MR signal was not recognized in the tumor probably due to lower concentration compared to that in the abdomen and the bladder.

The authors demonstrated and characterized *in vivo* distribution of enflurane in the rats using  $^{19}\text{F}$  MRI. Additionally, we postulated the possibility for blood flow measurement of the liver in the washing out phase after constant inhalation of enflurane.